

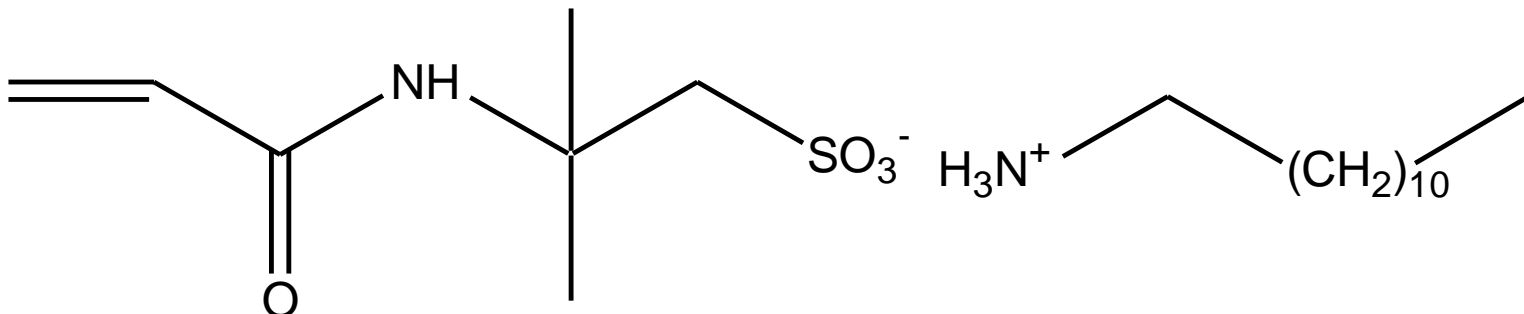


# **Строение мицелл додециламмоний 2-акриламидо-2-метилпропансульфоната (ДДА-АМПС) в водно-диоксановых смесях по данным малоуглового рассеяния нейтронов**

Ю.В. Кульвелис, В.Т. Лебедев, Т.М. Щербинина, И.М. Зорин,  
А.Ю. Билибин

Петербургский институт ядерной физики НИЦ КИ, Гатчина  
Санкт-Петербургский государственный университет

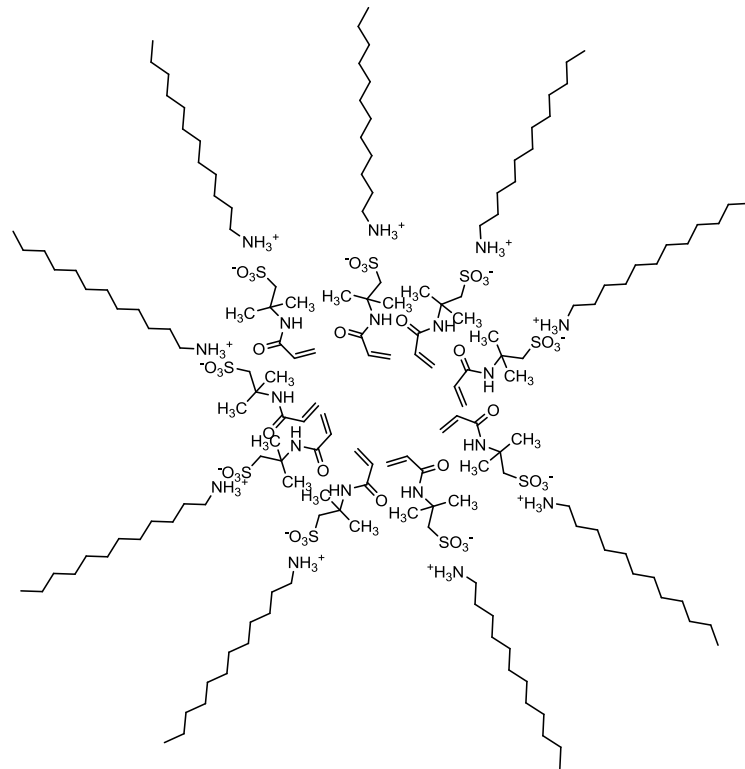
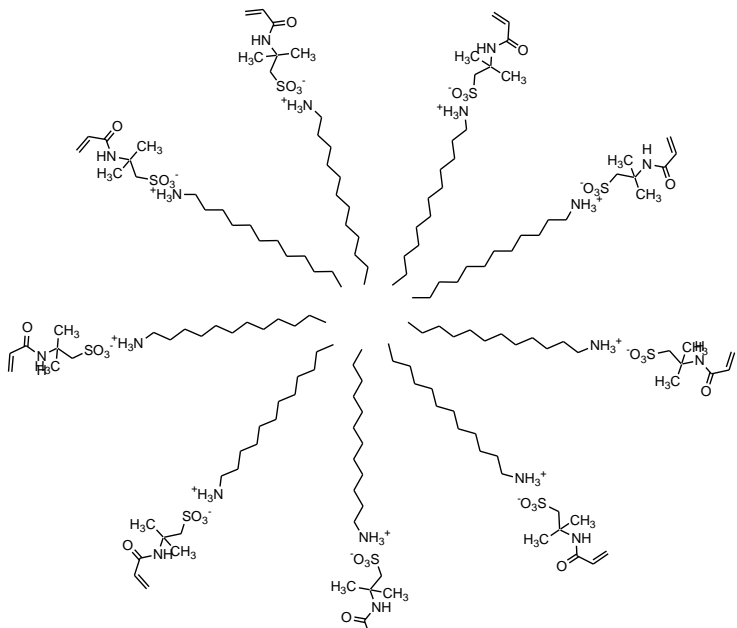
# ДДА-АМПС



Додециламмония 2-акриламидо-2-метилпропансульфонат (ДДА-АМПС)

- Мономеры с ионной связью, образуют мицеллы.
- При полимеризации получаются полиэлектролит-коллоидные ионные комплексы.
- Потенциал для применений: сенсоры, нелинейно-оптические материалы, наночастицы с контролируемой поверхностью плотностью заряда и т.д.

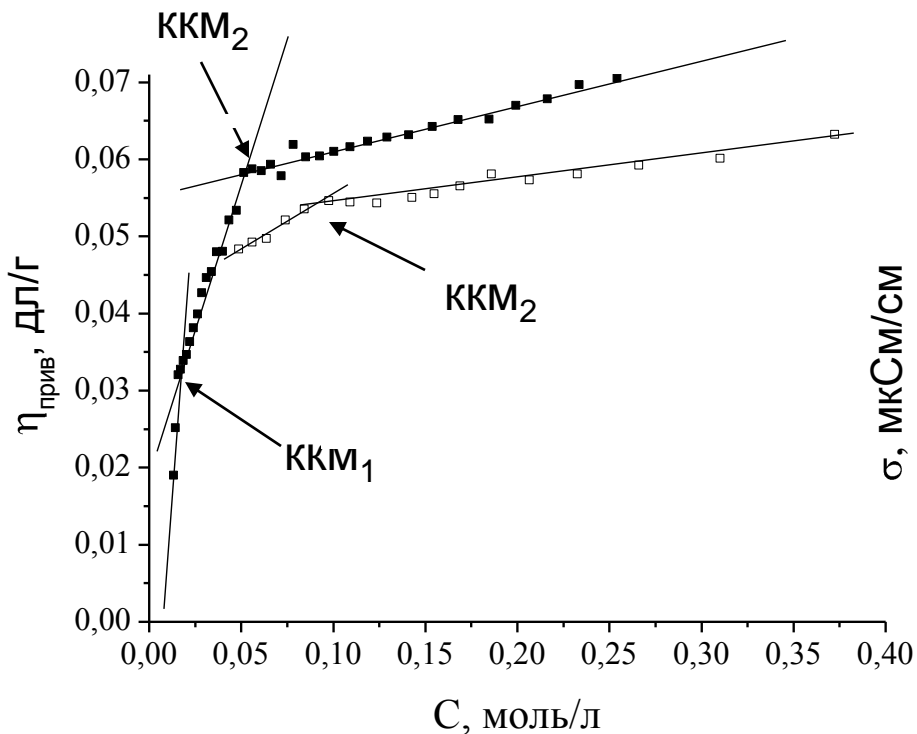
# ДДА-АМПС



**в воде**  
**прямые мицеллы**

**в диоксане**  
**обращенные мицеллы**

# Зависимости приведенной вязкости и УЭП от концентрации ДДА-АМПС в воде

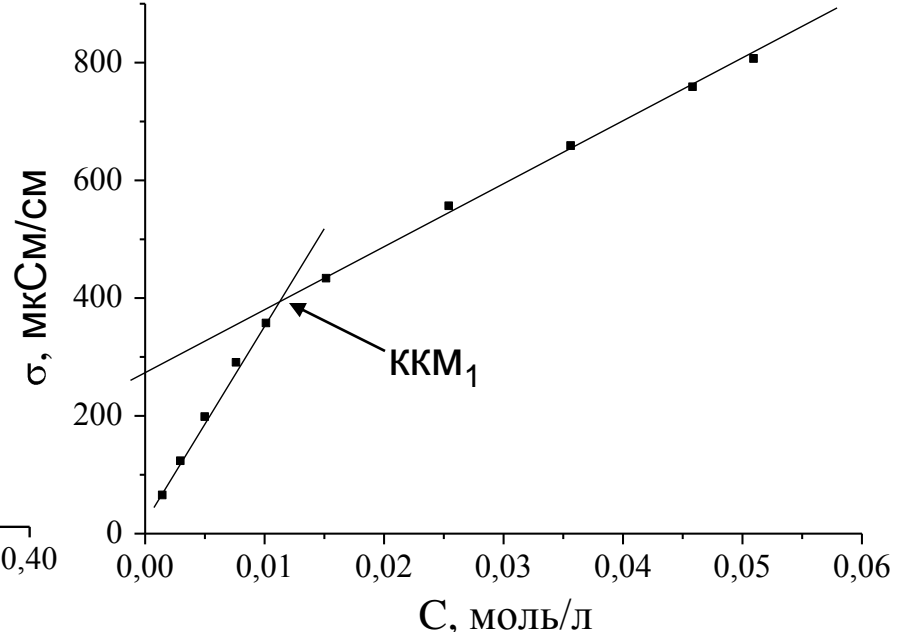


Зависимость приведенной вязкости от концентрации ДДА-АМПС в воде  
при  $25^\circ\text{C}$  -■-;  $60^\circ\text{C}$  -□-

$$\text{ККМ}_1 = 0,013 \text{ моль/л} = 0,5\% \text{ при } 25^\circ\text{C}$$

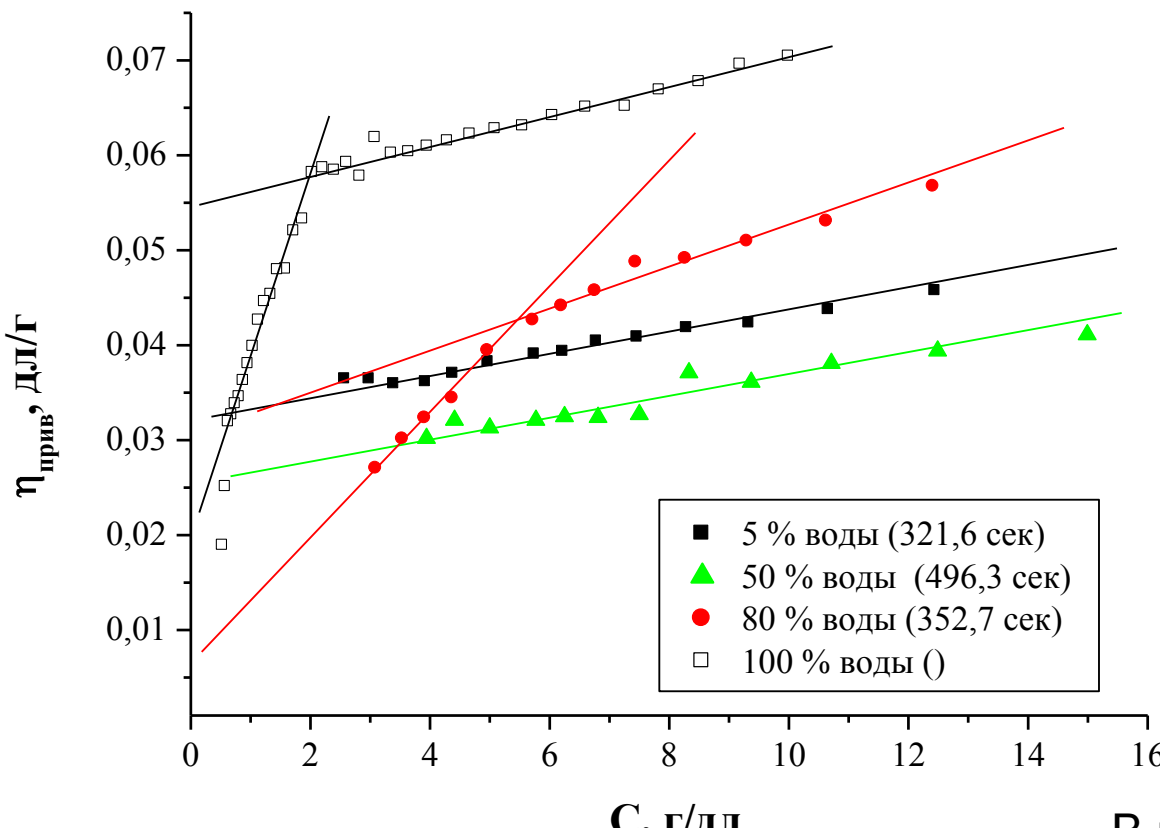
$$\text{ККМ}_2 = 0,051 \text{ моль/л} = 2\% \text{ при } 25^\circ\text{C}$$

$$\text{ККМ}_2 = 0,089 \text{ моль/л} = 3,5\% \text{ при } 60^\circ\text{C}$$



Зависимость УЭП водного раствора от концентрации ДДА-АМПС при  $25^\circ\text{C}$

# Зависимость приведенной вязкости от концентрации ДДА-АМПС в водно-диоксановых смесях

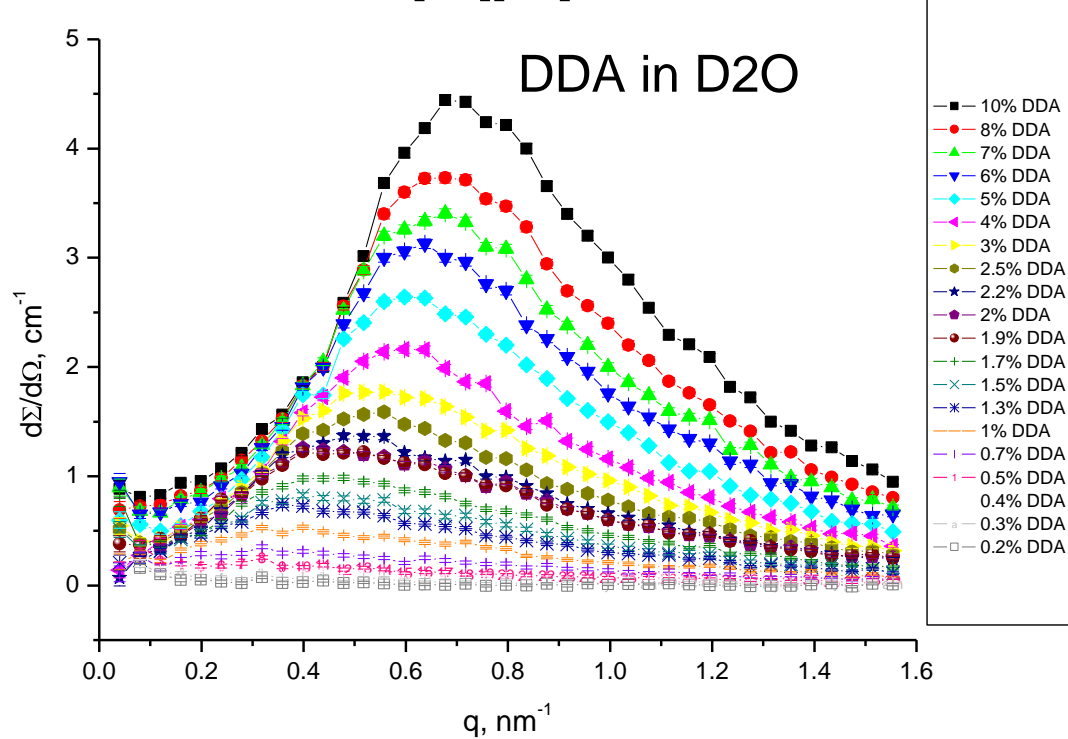


Сравнение ккм ДДА-АМПС  
в воде и водно-диоксановой смеси

В полярных средах – прямые мицеллы.  
В неполярных средах – обращенные мицеллы.  
В смеси вода-диоксан с 15-25% воды мицеллы не образуются.

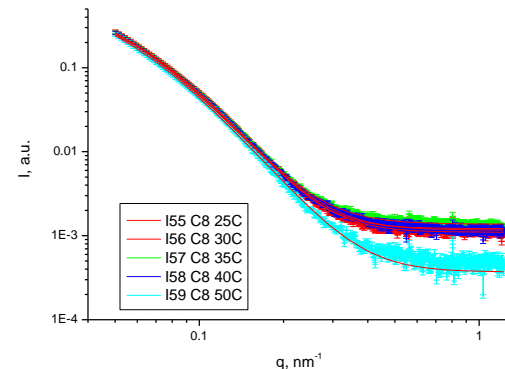
смесь	ккм <sub>1</sub> , г/дл	ккм <sub>2</sub> , г/дл
вода	0,5	2,0
80% воды	0,9	5,4

# SANS ДДА-АМПС в D<sub>2</sub>O

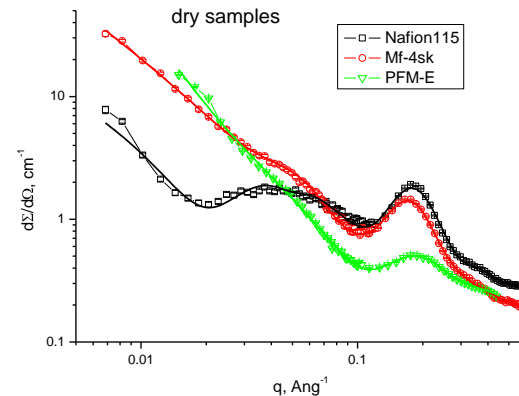


Мембрана-2 (ПИЯФ),  $\lambda = 3 \text{ \AA}$ ,  $q = 0.03-1.6 \text{ nm}^{-1}$

$$I(q) = F(q) S(q) + B$$

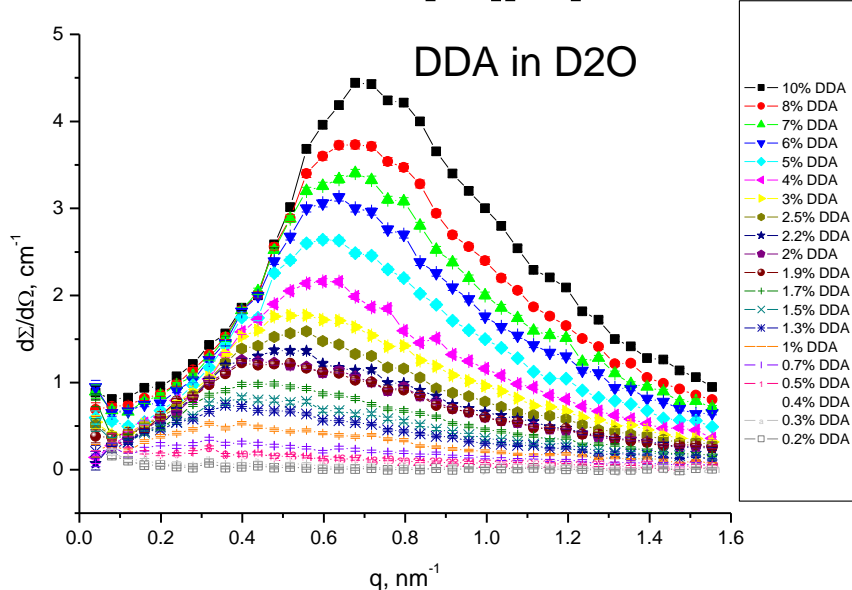


SAXS фуллеренолов в воде



SANS ПФ-мембран

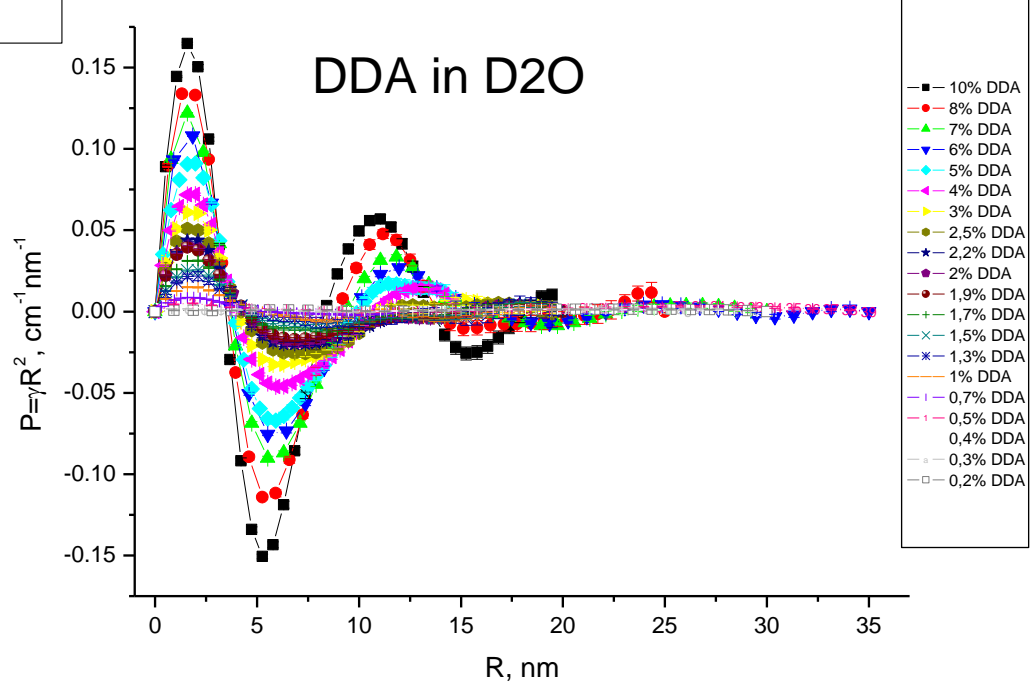
# SANS ДДА-АМПС в D<sub>2</sub>O

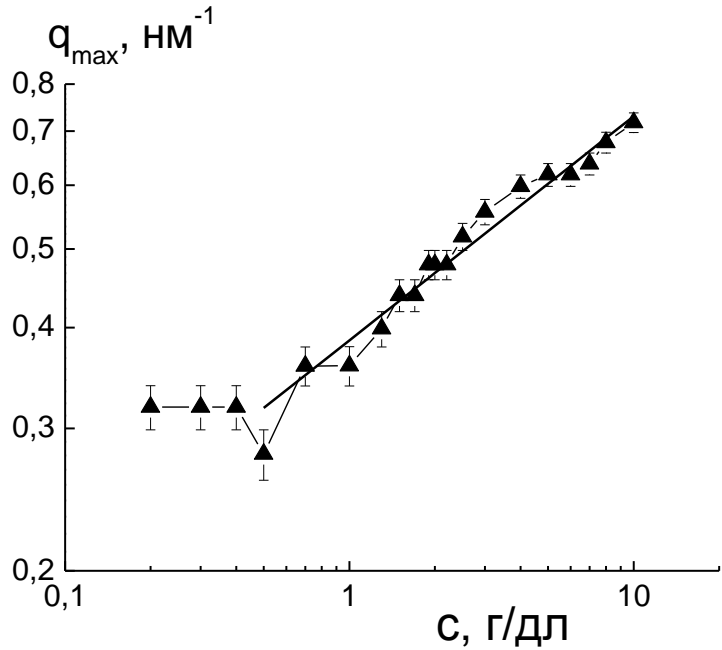
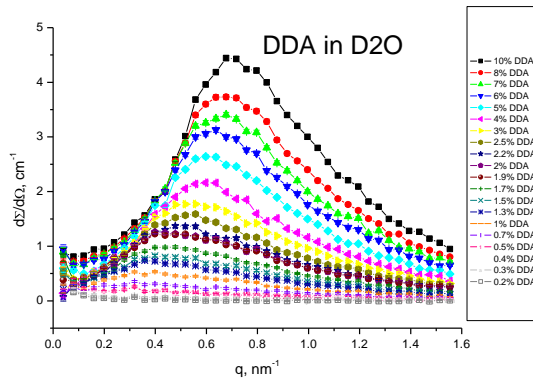


Видны отдельные мицеллы  
(пик 1,5 – 2 нм) и корреляции  
между соседними мицеллами  
(второй пик от 11-12 нм).

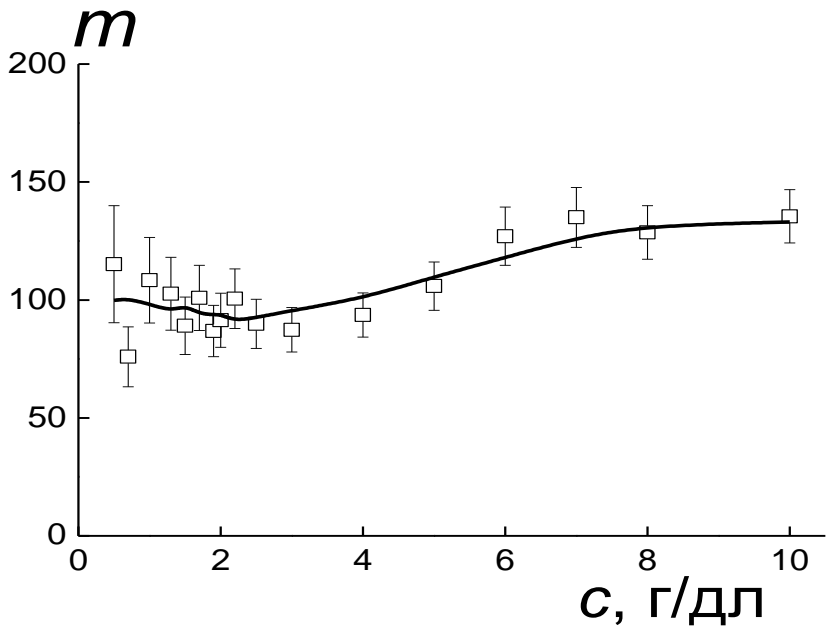


Максимум указывает на корреляции в расположении между отдельными мицеллами.



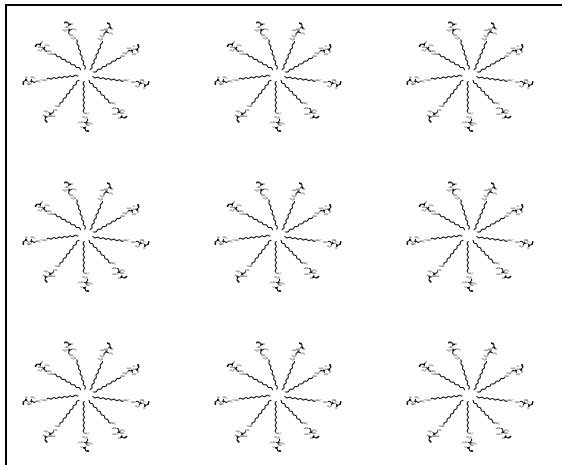


Зависимость положения максимума на кривой от  $C_{\text{ДДА}}$

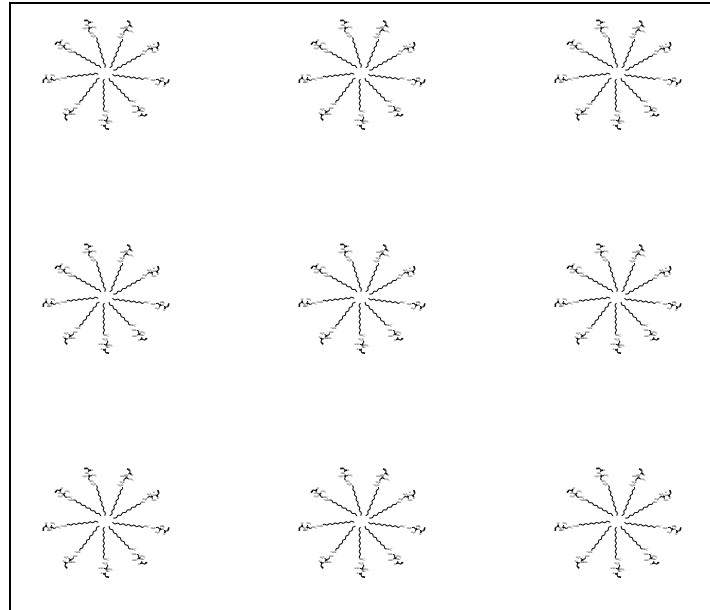


Количество молекул в мицелле  $m$  для модели расположения частиц на расстоянии  $R$  как при плотной упаковке сфер размером  $R$  (относительный объем, занятый сферами,  $\alpha = 0,74$ ). Объем, приходящийся на одну частицу  $(\pi/6\alpha)R^3 = 1/N$ , дает оценку концентрации  $N$  и количества молекул в частице  $m = CN_A/(NM_P) \sim 90-100$  при  $C = 0,5-3,0 \text{ г/дл}$  и  $m \sim 130$  при увеличении доли  $C$  до  $10 \text{ г/дл}$ .

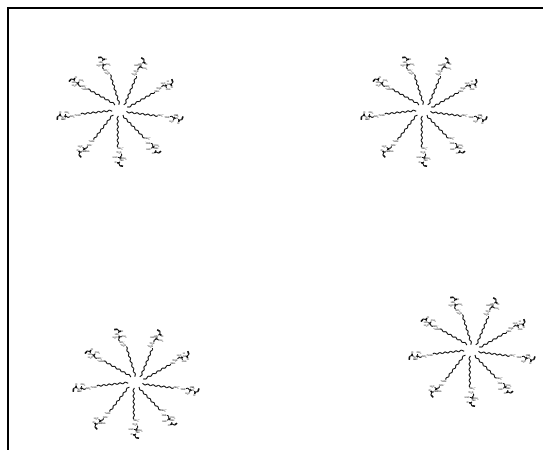
# ДДА-АМПС в D<sub>2</sub>O



10% DDA



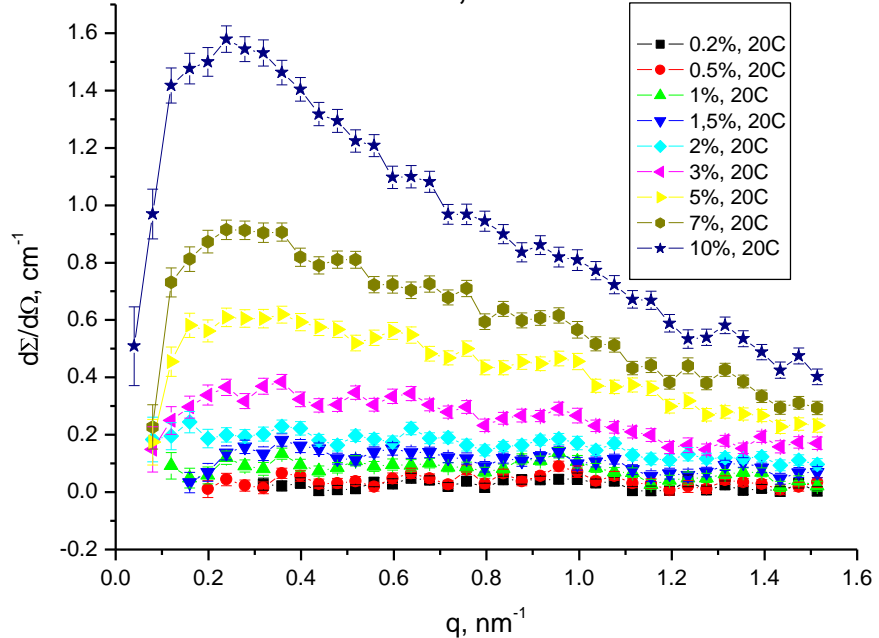
5% DDA



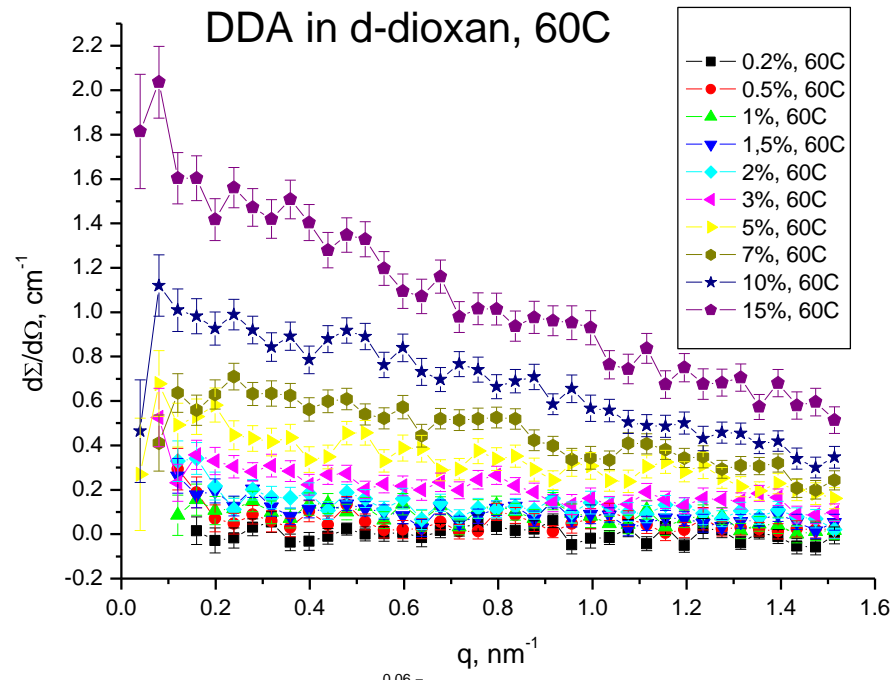
2% DDA

# ДДА-АМПС в D-диоксане

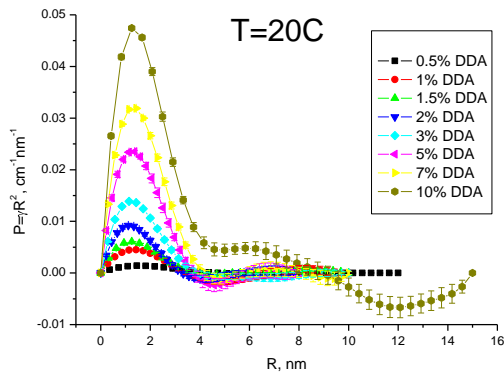
DDA in d-dioxan, 20C



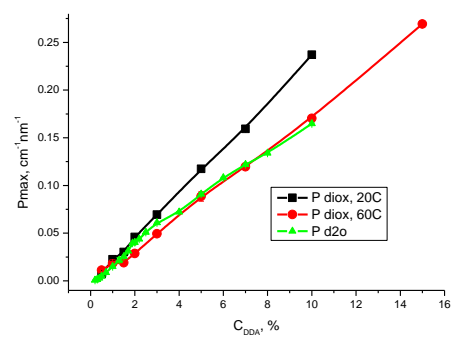
DDA in d-dioxan, 60C



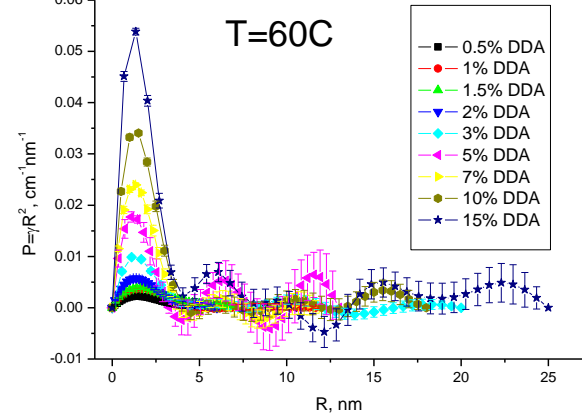
T=20C



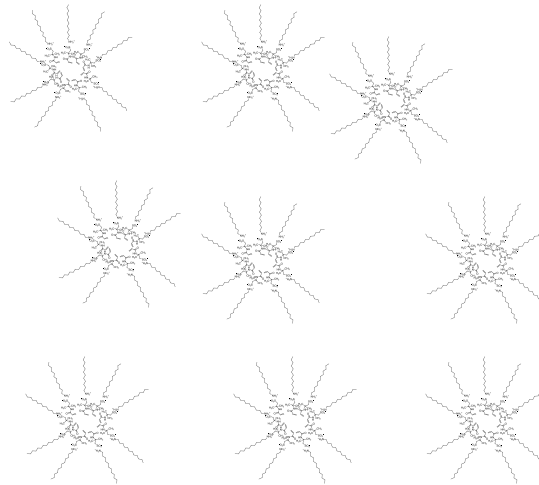
$P_{max}, \text{cm}^3 \text{nm}^{-1}$



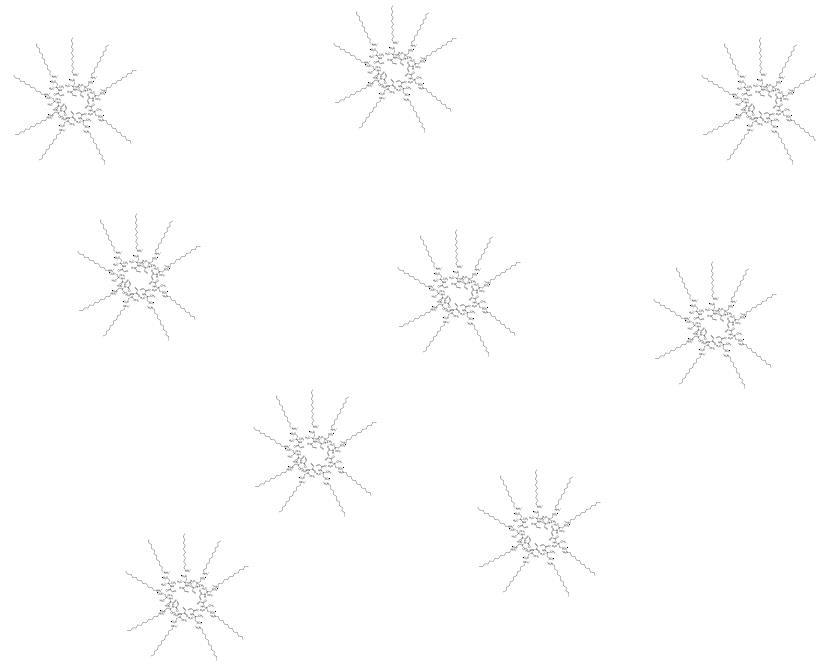
T=60C



# ДДА в D-диоксане

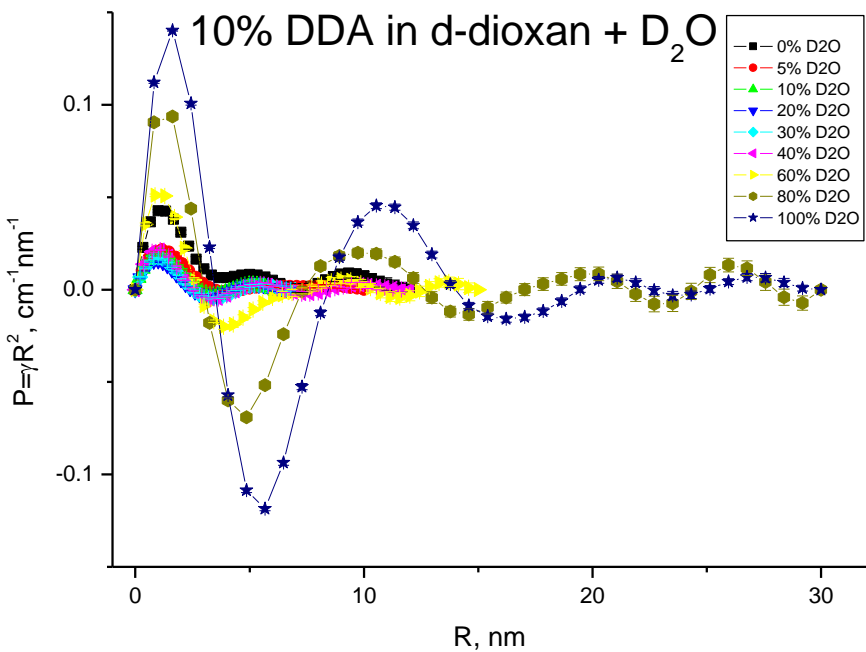
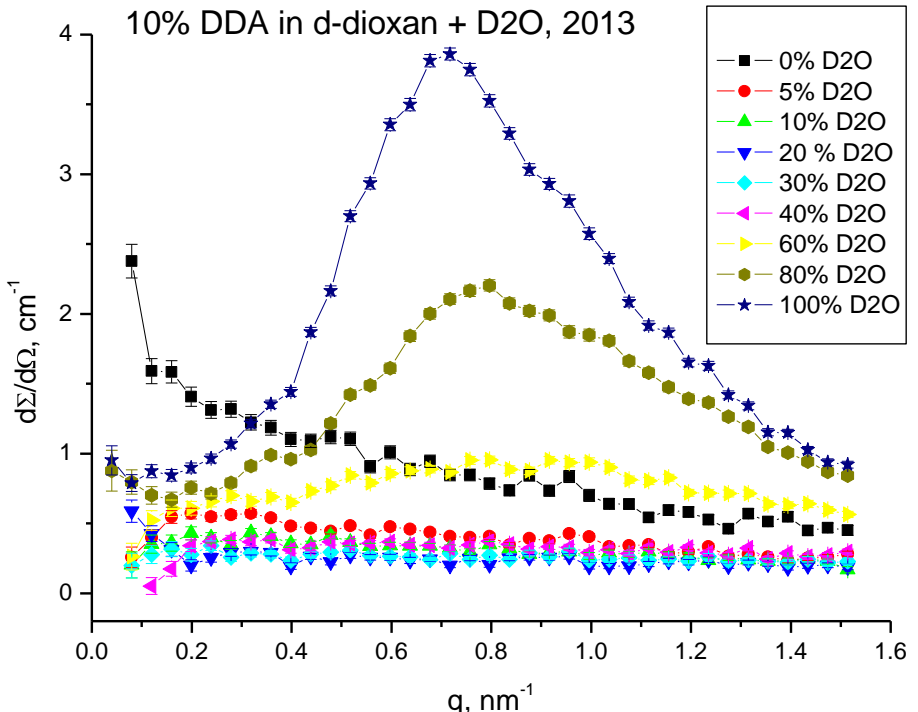


**10% DDA**

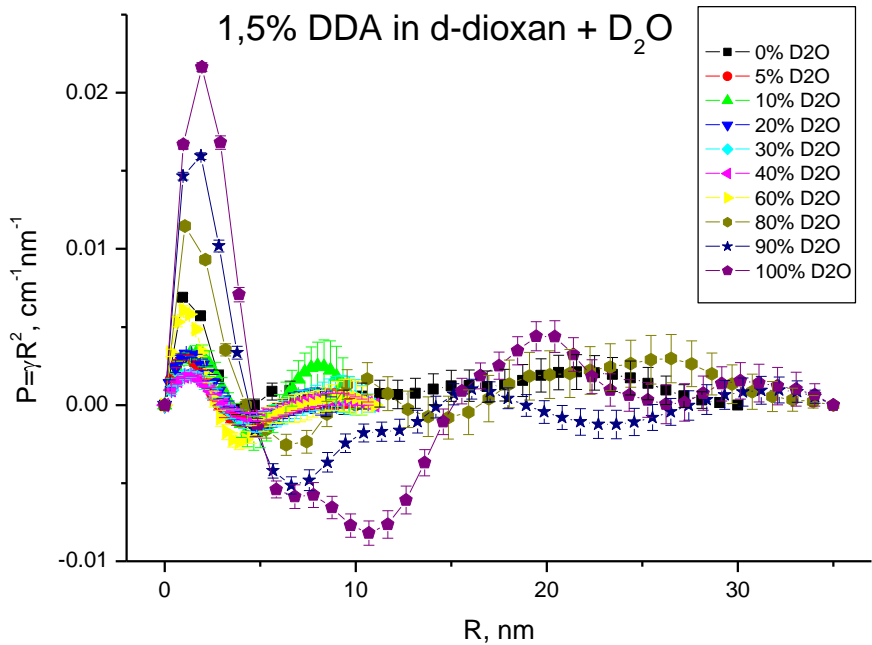
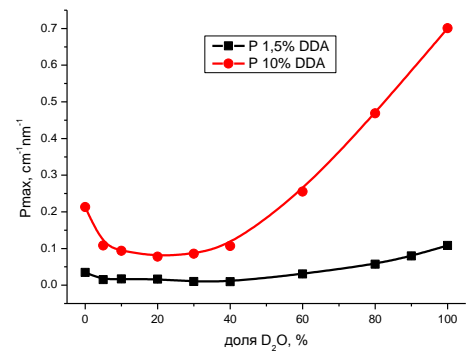
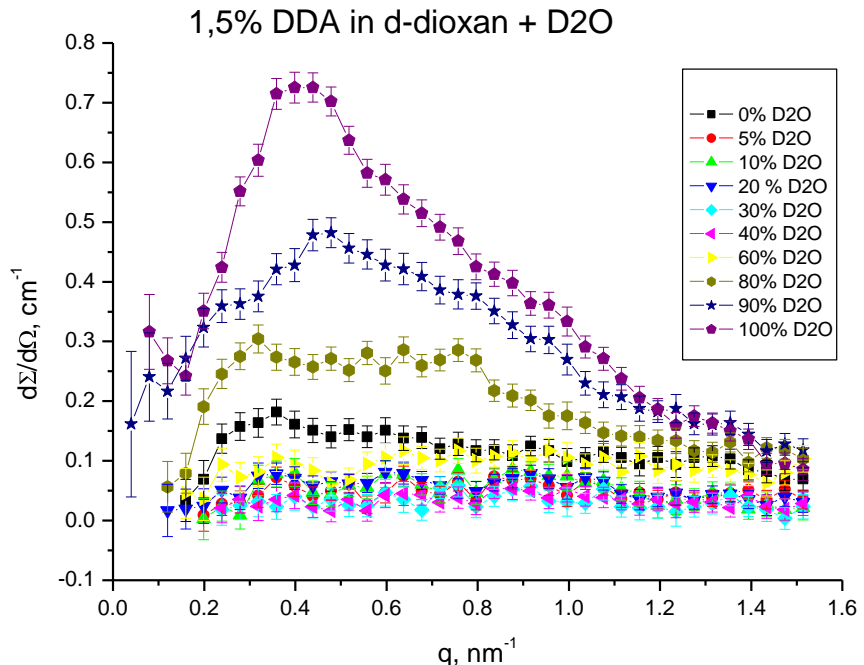


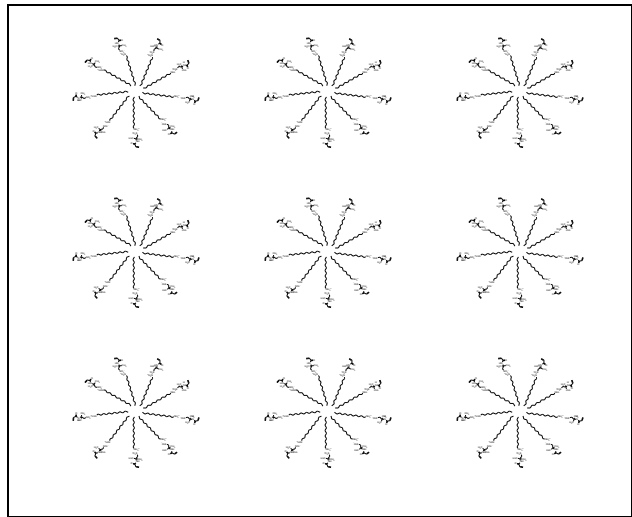
**5% DDA**

# ДДА-АМПС в смеси D<sub>2</sub>O + D-диоксан

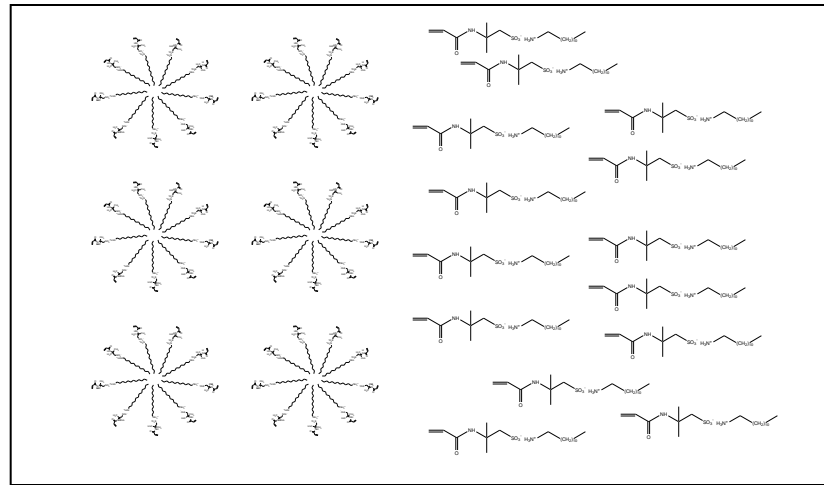


# ДДА-АМПС в смеси D<sub>2</sub>O + D-диоксан

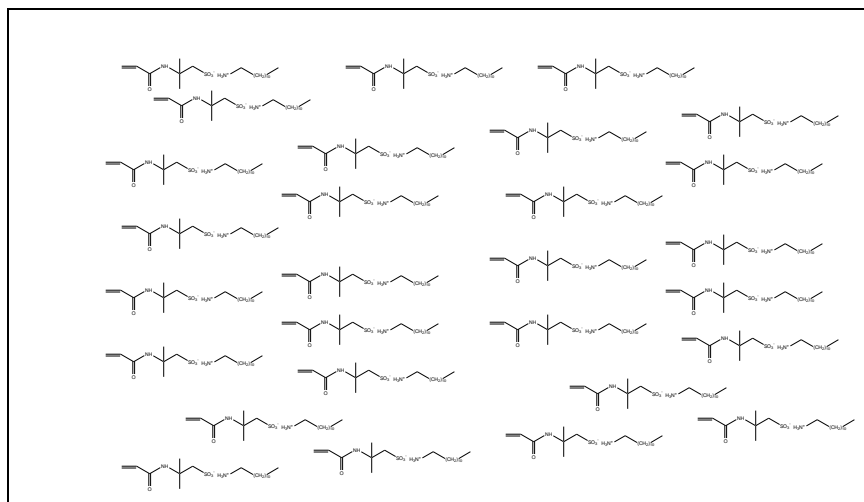




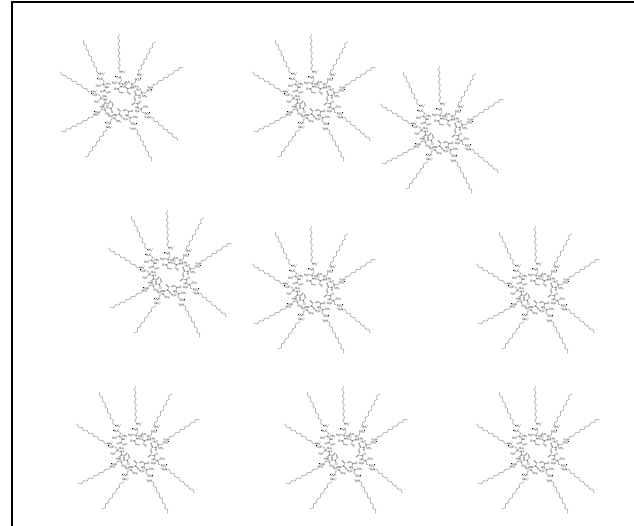
**100% D<sub>2</sub>O**



**80% D<sub>2</sub>O**

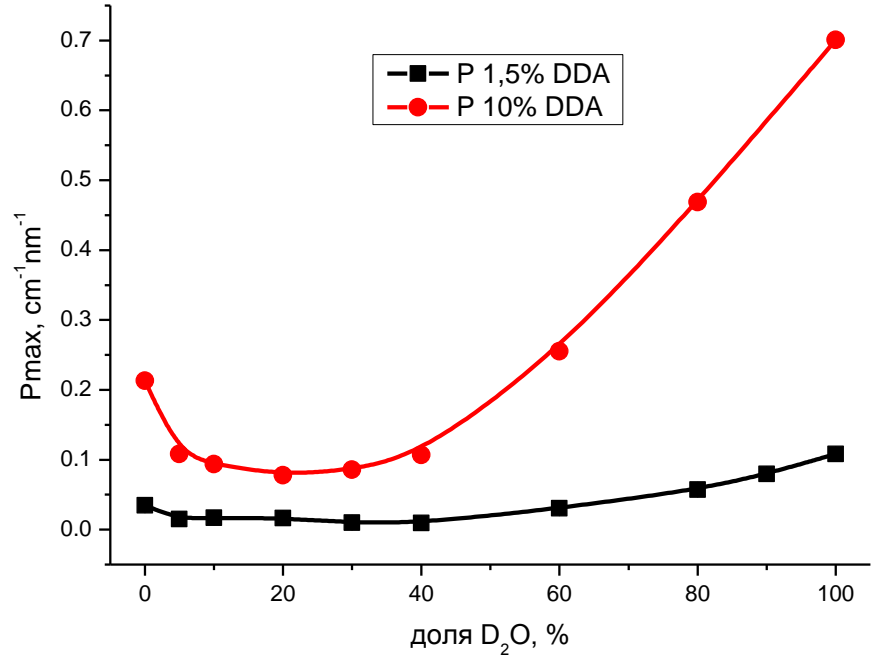
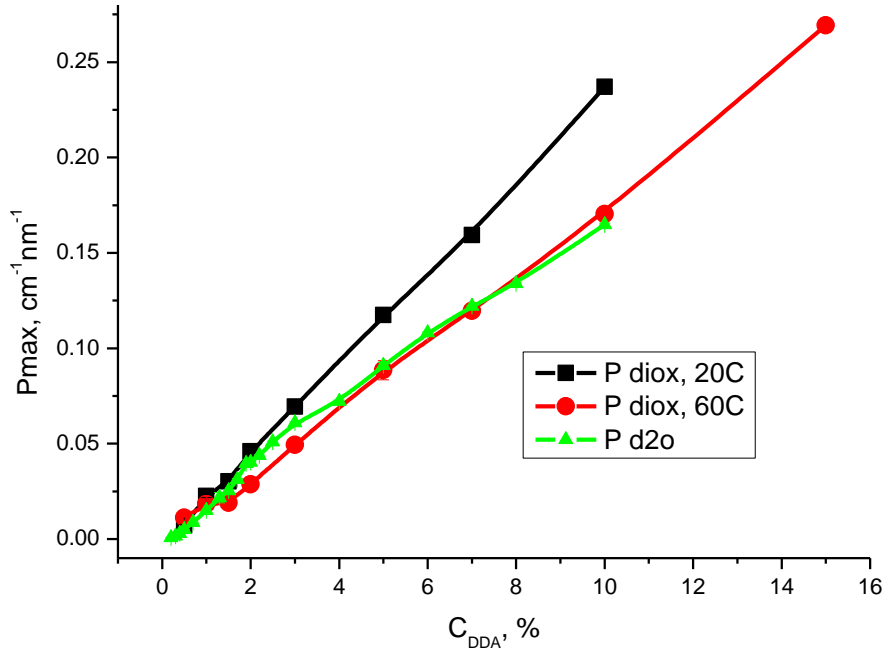


**20% D<sub>2</sub>O**



**0% D<sub>2</sub>O**

# SANS ДДА: максимум корреляционной функции



# Выводы

- В  $D_2O$  наблюдаются мицеллы размерами ~ 2 нм, расположенные строго упорядоченно. Снижение концентрации ДДА ведет к увеличению расстояния между соседними мицеллами.
- В чистом диоксане интенсивность рассеяния (и максимум корреляционной функции) растет пропорционально концентрации мономера. Следовательно, с концентрацией меняется только количество рассеивающих объектов (обращенных мицелл). Мицеллы расположены хаотично и не образуют четкой структуры. Слабая упорядоченность наблюдается только начиная с концентрации ДДА 5-7%. При увеличении температуры часть мицелл распадается.
- В смесях диоксан-вода наблюдается четкий максимум кривой рассеяния только при высоком содержании воды (от 60%). При увеличении доли диоксана часть мицелл распадается, остающиеся мицеллы расположены так же упорядоченно. При 5-40%  $D_2O$  мицелл практически нет, а в чистом диоксане формируются обращенные мицеллы, но корреляции в их расположении отсутствуют.

# Спасибо за внимание!

